

# $\Upsilon(1S)$ 的强衰变及粲重子结构的研究\*

平荣刚<sup>1,2</sup> 邹冰松<sup>1,2</sup>

1 (中国高等科学技术中心 北京 100080)

2 (中国科学院高能物理研究所 北京 100049)

**摘要** 在微扰 QCD 框架内,利用重子结构的夸克模型,计算了  $\Upsilon \rightarrow p\bar{p}, \Lambda_c \bar{\Lambda}_c, \Sigma_c \bar{\Sigma}_c, \Xi_c \bar{\Xi}_c, \Xi_{cc}^+ \bar{\Xi}_{cc}^-, \Omega_{ccc} \bar{\Omega}_{ccc}$  衰变的分支比,讨论了在  $\Upsilon$  衰变中寻找  $\Omega_{ccc}$  粲重子的可能性.

**关键词** 粲重子  $\Upsilon$  重子结构

## 1 引言

从上个世纪 60 年代人们提出强子的  $SU(3)$  分类方案以来,人们对重子结构的研究取得了很大进展<sup>[1]</sup>. 早期提出的组分夸克模型,成功地解释了强子的一些性质,比如质量谱、衰变宽度以及电磁振幅等性质,虽然它面临着“丢失态”和“混杂态”的困难,但作为 QCD 非微扰区域内描述强子结构的模型,已被人们普遍接受,此后,为了把夸克模型建立在 QCD 基础之上,人们提出了一些其他种类的夸克模型,比如,瞬时子模型、流管模型等.

夸克模型不仅解释了由  $u, d, s$  夸克组成的“普通重子”,而且预言了粲重子的存在. 夸克模型对重子结构的基本假设是:重子是由 3 个夸克构成的  $SU(3)$  色单态. 由  $u, d, s$  夸克构成的普通重子可按味道  $SU(3)$  基础表示的直乘的约化来分类,即:  $3 \otimes 3 \otimes 3 = 10_s \oplus 8_M \oplus 8_M \oplus 1_A$ , 其中, 10 重态重子基态 ( $J^P = \frac{3}{2}^+$ ) 包括:  $\Delta^{-,0,+}, \Sigma^{-,0,+}, \Xi^{-,0}, \Omega^-$ ; 8

重态重子基态 ( $J^P = \frac{1}{2}^+$ ) 包括:  $n, p, \Sigma^{-,0,+}, \Lambda, \Xi^{-,+}$ . 1974 年粲夸克发现以后,人们把  $SU(3)$  夸克模型推广到  $SU(4)$  夸克模型,重子的  $SU(4)$  分类方案是:  $4 \otimes 4 \otimes 4 = 20 \oplus 20'_1 \oplus 20'_2 \oplus \bar{4}$ , 其中,  $J^P =$

$\frac{1}{2}^+$  的 10 个粲重子基态包括:  $\Sigma_c^{0,+}, \Lambda_c^+, \Omega_c^0,$

$\Xi_c^{0,+}, \Xi_{cc}^{+,++}, \Omega_{cc}^+, J^P = \frac{3}{2}^+$  的粲重子包括:  $\Sigma_c^{0,+}, \Xi_c^{0,+}, \Omega_c^0, \Xi_{cc}^{+,++}, \Omega_{cc}^+$  以及  $\Omega_{ccc}^{++}$ .

这些粲重子的质量谱在夸克模型的框架内,很早就有人对它们作了预言,但目前,人们只观察到部分包含一个粲夸克的粲重子<sup>[2]</sup>. 对包含两个粲夸克和 3 个粲夸克的粲重子,它们的质量谱、衰变性质及结构等问题,目前一直是理论和实验工作者感兴趣的问题.

目前,随着 FOCUS, Fermilab 等实验室对  $\Upsilon$  事例数的累积,人们正试图通过  $\Upsilon$  衰变寻找粲重子. 由于  $\Upsilon$  的质量为  $m_\Upsilon = 9.46\text{GeV}$ , 理论上,它可以通过强衰变形成粲重子. 此外,由于这些粲重子的质量普遍高于“普通重子”,因此,  $\Upsilon$  衰变形成的粲重子的出射动量要比“普通重子”的出射动量小,从而粲重子的波函数的 Lorentz 收缩效应比普通重子要小<sup>[3]</sup>, 因此,人们期望能从  $\Upsilon$  的强衰变中找到粲重子的踪迹.

如果在  $\Upsilon$  衰变中找到粲重子,那么相应的分支比有多大? 或者说末态重子结构对  $\Upsilon$  到粲重子的衰变性质有何影响? 我们将在微扰 QCD 框架内具体研究  $\Upsilon \rightarrow 3g \rightarrow B_c \bar{B}_c$  ( $B_c$ : 粲重子) 衰变过程, 其中, 粲重子结构采用夸克模型来描述, 在这个基础之上,我们将具体研究包含一个和 3 个粲夸克的粲重

2004-07-21 收稿, 2004-12-02 收修改稿

\* 国家自然科学基金资助(10225525, 10055003, 10447130)

子的结构对  $\Upsilon$  相应的衰变道的分支比的影响.

## 2 理论公式

对于 b 夸克偶素  $\Upsilon$  的强衰变,人们很早就就在微扰 QCD 框架内对它的衰变的一般特性作了研究<sup>[4]</sup>. 认为  $\Upsilon$  的强衰变的主要机制是通过  $b\bar{b}$  夸克湮灭形成中间态胶子,考虑到色荷守恒和电荷共轭的要求,它的衰变过程如图 1 所示,首先  $b\bar{b}$  夸克湮灭形成 3 个中间态胶子,然后每个胶子再转化为夸克-反夸克( $q\bar{q}$ )对,最后通过复杂的非微扰作用,3 个夸克形成重子,3 个反夸克形成反重子.在这个过程中, $\Upsilon$  存在两个特殊的能标:束缚态能量  $\epsilon$  和夸克的质量  $m_b$ . 由于  $m_b \gg \epsilon$ ,因此,人们普遍认为,这个过程的跃迁振幅如果按  $p/m_b$  ( $p$  是夸克的相对动量)展开.取到展式的领头项就足够了.这种非相对论处理方法直接导致  $\Upsilon$  的强衰变宽度正比于  $\Upsilon$  波函数在坐标原点值的平方  $|\phi(0)|^2$ <sup>[8]</sup>.

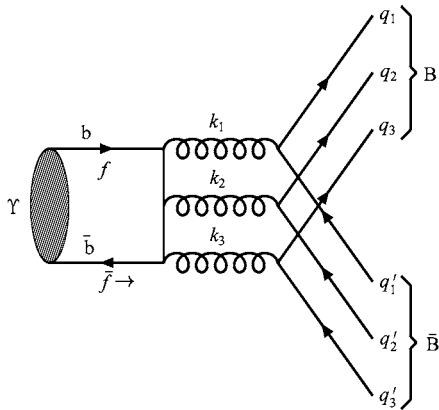


图 1  $\Upsilon \rightarrow B\bar{B}$  衰变的最低阶费曼图

对于遍举衰变  $\Upsilon \rightarrow B\bar{B}$ ,衰变宽度为

$$\frac{d\Gamma^{(\Lambda)}(\Upsilon \rightarrow B\bar{B})}{d\Omega_{p_f}} = \frac{1}{32\pi^2} \frac{|\mathbf{p}_f|}{M^2} \sum_{s_z, s'_z} |T_{s_z, s'_z}(\Omega_{p_f})|^2, \quad (1)$$

其中  $p_f$  是末态重子的动量  $p_f = \sqrt{M^2 - 4m_B^2}/2$ ,  $M$  是  $\Upsilon$  的质量.  $T_{s_z, s'_z}$  是  $\Upsilon$  衰变的不变振幅,  $s_z, s'_z$  分别是重子和反重子的自旋第三分量,  $\Lambda$  是  $\Upsilon$  的螺旋度取值(对于  $e^+e^- \rightarrow \Upsilon$  过程,  $\Lambda = \pm 1$ ).

其中,跃迁振幅  $T_{s_z, s'_z}$  为

$$T_{s_z, s'_z}^{(\Lambda)} = \langle \psi_B(q, s_z) \psi_{\bar{B}}(q', s'_z) | T | \psi_{\Upsilon}^{(\Lambda)} \rangle =$$

$$\sum_{s_i, s'_i} \int \left( \prod_{i=1}^3 d^3 q_i d^3 q'_i \right) d^3 \mathbf{q} \times \langle \psi_B(q, s_z) \psi_{\bar{B}}(q', s'_z) | \prod_{i=1,2,3} q_i, s_i, q'_i, s'_i \rangle \cdot \langle \prod_{i=1,2,3} q_i, s_i, q'_i, s'_i | T | f\bar{f} \rangle \langle f\bar{f} | \psi_{\Upsilon}^{(\Lambda)} \rangle, \quad (2)$$

其中  $\psi_{\Upsilon}^{(\Lambda)}, \psi_B, \psi_{\bar{B}}$  分别是  $\Upsilon$ , 末态重子和反重子在动量空间的波函数,  $q_i(q'_i)$  和  $s_i(s'_i)$  分别是夸克(反夸克)的四动量和自旋,  $f, \bar{f}$  分别是  $b, \bar{b}$  夸克在  $\Upsilon$  质心系的四动量, 它们的相对动量为  $\mathbf{q}$ , 满足  $f = (M_{\Upsilon}/2, \mathbf{q}), \bar{f} = (M_{\Upsilon}/2, -\mathbf{q})$ . 不变振幅

$$\langle \prod_{i=1,2,3} q_i, s_i, q'_i, s'_i | T | f\bar{f} \rangle$$

可以由费曼规则得到

$$\langle \prod_{i=1,2,3} q_i, s_i, q'_i, s'_i | T | f\bar{f} \rangle = \bar{v}(\bar{f}, \bar{s}) \gamma^{\nu} \frac{\bar{f} - k_3 + m}{(\bar{f} - k_3)^2 - m^2} \gamma^{\mu} \cdot \frac{f - k_1 + m}{(f - k_1)^2 - m^2} \gamma^{\rho} u(f, s) \cdot \sum_{\{a,b,c\} \{ \mu, \nu, \rho \}} g^{ca} g^{ab} g^{bc} \bar{u}(q_1, s_1) \gamma^a v(q'_1, s'_1) \bar{u}(q_2, s_2) \gamma^b v(q'_2, s'_2) \bar{u}(q_3, s_3) \gamma^c v(q'_3, s'_3) \cdot \frac{1}{(q_1 + q'_1)^2} \frac{1}{(q_2 + q'_2)^2} \frac{1}{(q_3 + q'_3)^2} \cdot \frac{\sqrt{2M_{\Upsilon} 2M_B 2M_{\bar{B}}}}{(2\pi)^3} (ig)^6 C, \quad (3)$$

式中  $g = \sqrt{4\pi\alpha_s}$  是强耦合常数,  $C = 5/18\sqrt{3}$  是  $\Upsilon \rightarrow B\bar{B}$  过程的颜色因子,  $k_i$  定义为  $k_i = q_i + q'_i, \{a, b, c\} \{ \mu, \nu, \rho \}$  表示对指标  $abc$  和  $\mu, \nu, \rho$  所有可能的收缩求和以及  $k_i$  相应的置换,  $u$  和  $v$  分别表示夸克和反夸克的 Dirac 旋量, 取为

$$u(q_i, s_i) = \sqrt{\frac{m_i + E_i}{2E_i}} \begin{pmatrix} 1 \\ \boldsymbol{\sigma} \cdot \mathbf{q}_i \\ m_i + E_i \end{pmatrix} \chi_{s_i}, \quad \nu(q'_i, s'_i) = \sqrt{\frac{m_i + E_i}{2E'_i}} \begin{pmatrix} \boldsymbol{\sigma} \cdot \mathbf{q}'_i \\ 1 \\ m_i + E'_i \end{pmatrix} \chi_{s'_i}, \quad (4)$$

由于在  $\Upsilon$  中  $b$  夸克的质量远比它们之间的相对动量大得多,按照一般非相对论的处理方法:取  $f = \bar{f} = (m_b, \mathbf{0})$ ,  $m_b$  是  $b$  夸克的质量.在非相对论近似下,矩阵元  $\langle \prod_{i=1,2,3} q_i, s_i, q'_i, s'_i | T | f\bar{f} \rangle$  与  $b(\bar{b})$  夸克的动量无关.这样, (2) 式中  $\int d^3 \mathbf{q}$  积分可以分离出来,即

$$\int d^3q \psi_{\Upsilon}^{(A)}(\mathbf{q}) = \phi_{\Upsilon}(0), \quad (5)$$

其中  $\phi_{\Upsilon}(0)$  是  $\Upsilon$  波函数在坐标原点的值.

### 3 数值结果

#### 3.1 $\Upsilon \rightarrow p\bar{p}$ 衰变

在组分夸克模型中,核子看成 3 个轻夸克构成的无色态.它的波函数取为

$$\phi_p = \phi_p(\mathbf{k}_\rho, \mathbf{k}_\lambda) Y_{00}(\Omega_\rho) Y_{00}(\Omega_\lambda), \quad (6)$$

其中  $\phi_p(\mathbf{k}_\rho, \mathbf{k}_\lambda)$  是核子在质心系中的动量空间波函数,其中  $Y_{00} = 1/\sqrt{4\pi}$ , 式中  $\mathbf{k}_\rho, \mathbf{k}_\lambda$  定义为

$$\begin{aligned} \mathbf{k}_\lambda &= \frac{1}{\sqrt{2}}(\mathbf{k}_1 - \mathbf{k}_2) \\ \mathbf{k}_\rho &= \frac{1}{\sqrt{6}}(\mathbf{k}_1 + \mathbf{k}_2 - 2\mathbf{k}_3), \end{aligned} \quad (7)$$

其中,  $\mathbf{k}_i (i = 1, 2, 3)$  是组分夸克在重子质心系中的动量. 在计算  $\Upsilon \rightarrow B\bar{B}$  的跃迁矩阵时是在实验室系中进行的, 而重子波函数是在其质心系中给出的. 值得注意的是, 在  $\Upsilon \rightarrow p\bar{p}$  衰变中, 末态重子的出射动量非常大, 即  $p = 4.64 \text{ GeV}/c$ . 这时, 重子波函数的 Lorentz 收缩效应特别显著. 严格地讲, 组分夸克动量和 Dirac 旋量从重子的质心系变换到实验室系, 除了对夸克的动量做 Lorentz 变换外, 夸克的 Dirac 旋量也要做一个 Melosh 转动. 假定组分夸克的自旋沿  $z$  方向上的自旋投影在两个系统之间是一致的. 根据非相对论组分夸克模型处理的一般方法, 不考虑 Dirac 旋量的 Melosh 转动, 夸克动量在两个系统之间的变换满足:

$$\mathbf{k}_i = \mathbf{q}_i + \frac{\mathbf{q}_i \cdot \mathbf{P}}{M(M+E)} \mathbf{P} - \frac{\epsilon_i}{M} \mathbf{P}, \quad (8)$$

式中  $M, E, P$  分别是重子在实验室系中的质量, 能量和动量.  $\mathbf{q}_i, \epsilon_i$  是夸克在实验室系中的动量和能量. 波函数的 Lorentz 变换满足:

$$\psi(\mathbf{q}_\rho, \mathbf{q}_\lambda) = \left| \frac{\partial(\mathbf{k}_\rho, \mathbf{k}_\lambda)}{\partial(\mathbf{q}_\rho, \mathbf{q}_\lambda)} \right|^{1/2} \phi(\mathbf{k}_\rho, \mathbf{k}_\lambda), \quad (9)$$

在重子的质心系中, 它的径向波函数取为谐振子形式:

$$\phi_p(\mathbf{k}_\rho, \mathbf{k}_\lambda) = \left( \frac{1}{\pi\alpha} \right)^{3/2} e^{-\frac{1}{2\alpha}(k_\rho^2 + k_\lambda^2)}, \quad (10)$$

其中,  $\alpha = m\omega$  是谐振子参数.

核子和反核子的自旋-味波函数取为

$$\Psi_{SF} = \frac{1}{\sqrt{2}}(\chi^0\phi^0 + \chi^\lambda\phi^\lambda), \quad (11)$$

其中  $\chi, \phi$  分别为自旋和味波函数,  $\chi^0, \chi^\lambda$  分别是自旋为 1/2 的核子的两个混合对称波函数.

在计算中, 有 3 个参数需要确定, 即组分夸克质量  $m$ , 谐振子参数  $\alpha$  及强作用的耦合常数  $\alpha_s$ . 组分夸克质量  $m$  在文献中选择的差别较大, 在非相对论的夸克模型中<sup>[5]</sup>,  $m_{u,d} = 300\text{--}350 \text{ MeV}$ , 但对非相对论的夸克模型的运动学做相对论修正后, 轻夸克质量的选择一般比较低, 取为  $m_{u,d} = 220 \text{ MeV}$ . 而谐振子参数  $\alpha$  一般取为  $\alpha = 0.06\text{--}0.22 \text{ GeV}^2$  通过  $\alpha$  与核子半径  $r_0$  的关系  $\alpha = 3/2r_0^2$ , 可以粗略估计核子的相应半径为  $0.52\text{--}0.98 \text{ fm}$ , 数值计算给出  $\Upsilon \rightarrow p\bar{p}$  的衰变宽度为

$$\Gamma(\Upsilon \rightarrow p\bar{p}) = (3.3 \pm 0.5) \times 10^{-5} \alpha_s^6(m_b) |\phi_{\Upsilon}(0)|^2 (\text{GeV}). \quad (12)$$

其中, 中心值对应核子的谐振子参数  $\alpha = 0.14 \text{ GeV}^2$ , 它的取值在范围  $0.06\text{--}0.22$  调节时, 给出衰变宽度的变化范围. 在  $\Upsilon$  能区, 取  $\alpha_s = 0.2$ <sup>[6]</sup>,  $m_b = 4.7 \text{ GeV}$ , 在势模型中,  $|\phi_{\Upsilon}(0)|^2 = 0.51 \text{ GeV}^3$ <sup>[7]</sup>, 衰变的分支比为

$$\begin{aligned} Br(\Upsilon \rightarrow p\bar{p}) &= (1.9 \pm 0.2) \times 10^{-5} \\ &(\text{实验值: 小于 } 5 \times 10^{-4}). \end{aligned} \quad (13)$$

#### 3.2 $\Upsilon$ 到 $J^P = \frac{1}{2}^+$ 粲重子的衰变

目前, 人们只观察到为数不多的粲重子, 其中, 粒子表中收录的  $J^P = \frac{1}{2}^+$  的粲重子有  $\Lambda_c^+, \Sigma_c^{++}, \Sigma_c^+, \Xi_c^+, \Xi_c^0, \Omega_c^0$  等, 由于  $c$  夸克的质量比  $u, d$  夸克重很多, 采用夸克模型描述粲重子结构时, 考虑一种极端的质量破缺效应, 即夸克之间的交换对称性只在近似相等的夸克之间进行,  $\Lambda_c, \Sigma_c$  及  $\Xi_c$  的味道波函数可取为

$$\begin{aligned} \phi_{\Lambda} &= \sqrt{\frac{1}{2}}(ud - du)c, \\ \phi_{\Sigma^{0,+}, \Xi_c} &= ddc \sqrt{\frac{1}{2}}(ud + du)c, \quad (14) \\ \phi_{\Xi^{+}, \Omega_c} &= \sqrt{\frac{1}{2}}(us - su)c \sqrt{\frac{1}{2}}(sd - ds)c. \end{aligned}$$

自旋波函数也是有相似的形式.

对于粲重子的径向波函数, 由于  $\lambda$  和  $\rho$  型谐振子不再对称, 因此相应的谐振子常数  $\beta_\lambda$  和  $\beta_\rho$  不相等. 动量空间中径向波函数取为

$$\varphi(\mathbf{k}_\rho, \mathbf{k}_\lambda) = \frac{1}{(\pi^2 \beta_\rho \beta_\lambda)^{3/4}} e^{-\left(\frac{k_\rho^2}{2\beta_\rho} + \frac{k_\lambda^2}{2\beta_\lambda}\right)}, \quad (15)$$

式中  $\beta = \sqrt{3km_\rho}$ , 如果在粲重子中, 两个质量相等

的夸克用  $m_1, m_2$  标记, 另一个夸克用  $m_3$  标记, 即,  $m_1 = m_2 = m \neq m_3$ , 那么,  $m_\rho = m$ , 对于  $\Lambda_c$  和  $\Sigma_c$ , 取  $m_\rho = m$ , 而对于  $\Xi_c$ , 取  $m_\rho = 2m_d m_s / (m_d + m_s)$ ,  $\beta_\lambda = \sqrt{3km_\lambda}$ ,  $m_\lambda = 3m_\rho m_3 / (2m_\rho + m_3)$ , 利用这些关系式,  $\rho, \lambda$  型谐振子参数可以用核子的谐振子参数  $\alpha$  来表达: 即

$$\beta_\rho = \sqrt{m_\rho / m_u} \alpha, \beta_\lambda = \sqrt{m_\lambda / m_u} \alpha. \quad (16)$$

我们取  $m_{u,d} = 0.22\text{GeV}$ ,  $m_c = 1.5\text{GeV}$ ,  $m_b = M_\Upsilon/2$ , 核子的谐振子参数在  $0.06\text{--}0.22\text{GeV}^2$  之间调节, 数值计算给出衰变道  $\Upsilon \rightarrow \Lambda_c \bar{\Lambda}_c, \Sigma_c \bar{\Sigma}_c, \Xi_c \bar{\Xi}_c$  的分支比见表 1.

表 1  $\Upsilon \rightarrow \Lambda_c \bar{\Lambda}_c, \Sigma_c \bar{\Sigma}_c, \Xi_c \bar{\Xi}_c$  的衰变宽度和分支比

衰变道	衰变宽度/GeV	分支比
$\Gamma(\Upsilon \rightarrow \Lambda_c \bar{\Lambda}_c)$	$(1.77 \pm 1.11) \times 10^{-8}$ $\alpha_s^6(m_b)  \phi_\Upsilon(0) ^2$	$(1.11 \pm 0.70) \times 10^{-8}$
$\Gamma(\Upsilon \rightarrow \Sigma_c \bar{\Sigma}_c)$	$(3.85 \pm 2.73) \times 10^{-8}$ $\alpha_s^6(m_b)  \phi_\Upsilon(0) ^2$	$(2.40 \pm 1.71) \times 10^{-8}$
$\Gamma(\Upsilon \rightarrow \Xi_c \bar{\Xi}_c)$	$(5.90 \pm 4.61) \times 10^{-8}$ $\alpha_s^6(m_b)  \phi_\Upsilon(0) ^2$	$(3.70 \pm 2.89) \times 10^{-8}$

中心值对应核子的谐振子参数  $\alpha = 0.16\text{GeV}^2$ , 它的变化范围对应着  $\alpha$  的调节范围  $0.06\text{--}0.22\text{GeV}^2$ .  $\Upsilon$  的衰变宽度取实验值.

从表 1 的结果可以看出, 这些衰变道的分支比要比  $\Upsilon \rightarrow p\bar{p}$  衰变的分支比小很多, 就其原因, 除了与粲重子的结构有关外, 主要是由粲夸克的质量造成的. 一方面, 粲夸克的质量增大, 径向波函数对过渡振幅的贡献增加, 同时, 波函数的 Lorentz 收缩效应减小; 但另外一方面, 粲夸克的质量增大, 胶子传播子的贡献会使过渡振幅减小很多, 从而造成分支比大幅度压低.

### 3.3 $\Upsilon \rightarrow \Xi_{cc}^+ \Xi_{cc}^-$ 衰变

关于含有两个粲夸克的粲重子, 目前实验上仅有一点  $\Xi_{cc}^+$  的迹象. SELEX 实验组声称在  $\Xi^+ \rightarrow \Lambda_c^+ K^- \pi^+$  的衰变模式中观察到了  $\Xi_{cc}^+$ <sup>[9]</sup>, 它的质量为  $3.519\text{GeV}$ , 这个粲重子的自旋和宇称都没有得到测量. 现在, 对  $\Xi_{cc}^+$  是否观察到, 还存在很大争议<sup>[10]</sup>. 我们假设这个粲重子的自旋和宇称为  $J^P = \frac{1}{2}^+$ . 它的味道波函数取为

$$\phi_{\Xi_{cc}} = dcc. \quad (17)$$

自旋波函数取  $\{2, 3\}$  对称的形式, 空间波函数与前节讨论的相似, 按照前面参数的取值, 数值计算给出:

$$\Gamma(\Upsilon \rightarrow \Xi_{cc}^+ \Xi_{cc}^-) = (1.66 \pm 0.13) \times 10^{-8} |\phi_\Upsilon(0)|^2 \alpha_s^6(\text{GeV}), \quad (18)$$

相应的分支比为

$$Br(\Upsilon \rightarrow \Xi_{cc}^+ \Xi_{cc}^-) = (1.04 \pm 0.08) \times 10^{-8}. \quad (19)$$

可见, 它的分支比与  $\Upsilon \rightarrow \Xi_c^+ \Xi_c^-$  的分支比在同一个数量级.

### 3.4 $\Upsilon \rightarrow \Omega_{ccc} \bar{\Omega}_{ccc}$ 衰变

寻找由 3 个粲夸克组成的  $\Omega_{ccc}$  粲重子, 是一件非常有意义的工作, 然而, 目前实验上没有看到  $\Omega_{ccc}$  的一点迹象. 在理论上, 基于夸克模型对粲重子谱的研究表明,  $\Omega_{ccc}$  的质量约为  $\Upsilon$  质量的一半<sup>[11]</sup>. 因此, 在  $\Upsilon \rightarrow \Omega_{ccc} \bar{\Omega}_{ccc}$  衰变中, 重子感受到的 Lorentz 收缩效应非常小, 这个衰变的过渡振幅可能比  $\Upsilon \rightarrow p\bar{p}$  衰变的过渡振幅大. 假设  $\Omega_{ccc}$  的质量约为  $M_{\Omega_{ccc}} \approx 3m_c$ .  $\Omega_{ccc}$  的味道波函数取为

$$\phi_\Omega = ccc. \quad (20)$$

$\Omega_{ccc}$  的径向波函数与核子的相似, 其中的谐振子参数  $\beta$  可以用核子的谐振子参数  $\alpha$  表达为:  $\beta = \sqrt{m_c / m_u} \alpha$ . 在数值计算中, 核子的谐振子参数在  $0.06\text{--}0.22\text{GeV}^2$  之间调节.  $\Upsilon \rightarrow \Omega_{ccc} \bar{\Omega}_{ccc}$  衰变的分支比的数值结果为

$$\Gamma(\Upsilon \rightarrow \Omega_{ccc} \bar{\Omega}_{ccc}) = (5.9 \pm 5.1) \times 10^{-4} \alpha_s^6 |\phi_\Upsilon(0)|^2 (\text{GeV}). \quad (21)$$

采用前面讨论中的参数取值, 容易得到衰变的分支比为

$$Br(\Upsilon \rightarrow \Omega_{ccc} \bar{\Omega}_{ccc}) = (3.40 \pm 2.94) \times 10^{-4}. \quad (22)$$

这个衰变道的衰变宽度比  $\Upsilon \rightarrow p\bar{p}$  的衰变宽度大一个量级. 这主要是由于 Lorentz 收缩效应不同而造成的, 其次, 它跟重子结构也有很大关系.

## 4 讨论及展望

在研究  $\Upsilon \rightarrow B\bar{B}$  衰变过程中, 考虑了末态重子波函数的相对论效应和重子结构, 并把  $\Upsilon$  中的  $b\bar{b}$  夸克作非相对论的近似处理后, 数值计算结果给出  $Br(\Upsilon \rightarrow p\bar{p}) \sim 10^{-5}$ . 目前, 实验值的上限为  $5 \times 10^{-4}$ , 希望有更精确的测量结果检验我们的计算结果, 而  $Br(\Upsilon \rightarrow \Lambda_c \bar{\Lambda}_c), Br(\Upsilon \rightarrow \Sigma_c \bar{\Sigma}_c), Br(\Upsilon \rightarrow \Xi_c \bar{\Xi}_c)$  及  $Br(\Upsilon \rightarrow \Xi_{cc}^+ \Xi_{cc}^-)$  在  $10^{-8}$  的数量级. 目前, 这些道在  $\Upsilon$  衰变中还没有测量值. 值得注意的是, 如果末态粲重子是  $\Omega_{ccc}$ , 它的出射动量较小, Lorentz 收缩效应不显著,  $\Upsilon \rightarrow \Omega_{ccc} \bar{\Omega}_{ccc}$  衰变的过渡振幅会比到  $p\bar{p}$  的衰变

振幅大. 因此, 如果  $2M_{\Omega_{ccc}}$  在  $\Upsilon \rightarrow B\bar{B}$  衰变的阈值附近, 有可能在这个衰变中找到粲重子  $\Omega_{ccc}$ .

感谢姜焕清教授和 J. C. Peng 教授对本工作提出的建议和有益的讨论.

### 参考文献 (References)

- 1 Godfrey S, Isgur N. Phys. Rev., 1985, **D32**, 189—231; Capstick S, Isgur N. Phys. Rev., 1986, **D34**: 28092835
- 2 Particle Data Group. Phys. Rev., 2002, **D66**: 873
- 3 PING R G, Chiang H C, ZOU B S. Phys. Rev., 2002, **D66**: 054020-1—7
- 4 Brodsky S J, Lepage G P. Phys. Rev., 1981, **D24**: 28482855
- 5 Isgur N, Karl G. Phys. Rev., 1978, **D18**: 41874205; 1979, **19**: 26532677
- 6 Chiang H C, Hufner J, Printer H J. Phys. Lett., 1994, **B324**: 482—486
- 7 Estia J, Eichten, Chris Quigg. Phys. Rev., 1995, **D52**: 1726—1728
- 8 Kwong W, Mackenzie P B. Phys. Rev., 1988, **D37**: 32103215
- 9 Mattson M, Alkhozov G, Atamantchouk A G et al. Phys. Rev. Lett., 2002, **89**: 112001-1—5
- 10 Kiselev V V, Likhoded A K. ArXiv: hep-ph: 0208231
- 11 Chiaki Itoh, Toshiyuki Minamikawa, Kimio Miura et al. Phys. Rev., 2000, **D61**: 057502-1—4; Korner J G, Kramer M, Pirjol D. Prog. Part. Nucl. Phys., 1994, **33**: 787—868

## A Study of the Charm-Baryonic Structure from $\Upsilon(1S)$ Decays\*

PING Rong-Gang<sup>1,2</sup> ZOU Bing-Song<sup>1,2</sup>

1 (CCAST(World Lab.), Beijing 100080, China)

2 (Institute of High Energy Physics, Chinese Academy of Sciences, Beijing 100049, China)

**Abstract** In the framework of perturbative QCD, the exclusive decays  $\Upsilon \rightarrow B\bar{B}$  ( $B$ : baryon) are studied. With the constituent quark model describing the charm-baryonic structure, we calculate the decay widths for  $\Upsilon \rightarrow p\bar{p}$ ,  $\Lambda_c\bar{\Lambda}_c$ ,  $\Sigma_c\bar{\Sigma}_c$ ,  $\Xi_c\bar{\Xi}_c$ ,  $\Xi_{cc}^+\bar{\Xi}_{cc}^-$ ,  $\Omega_{ccc}\bar{\Omega}_{ccc}$ , and discuss the prospect to search for the charm baryon  $\Omega_{ccc}$  in  $\Upsilon$  decays.

**Key words** charm baryon,  $\Upsilon$ , baryonic structure